

## Pruebas no paramétricas

### Notas

Salida creada		05-SEP-2024 12:36:00
Comentarios		
Entrada	Conjunto de datos activo	ConjuntoDatos11
	Filtro	<ninguno>
	Ponderación	<ninguno>
	Segmentar archivo	<ninguno>
	N de filas en el archivo de datos de trabajo	400
Sintaxis		NPTESTS /RELATED TEST (FSIM_BS FSIM_KM FSIM_MC FSIM_WU FSIM_OC FSIM_VB FSIM_NQ) /MISSING SCOPE=ANALYSIS USERMISSING=EXCLUDE /CRITERIA ALPHA=0.05 CILEVEL=95.
Recursos	Tiempo de procesador	00:00:00,86
	Tiempo transcurrido	00:00:00,84

### Resumen de contrastes de hipótesis

	Hipótesis nula	Prueba	Sig. <sup>a,b</sup>
1	Las distribuciones de FSIM_BS, FSIM_KM, FSIM_MC, FSIM_WU, FSIM_OC, FSIM_VB y FSIM_NQ son iguales.	Prueba de Friedman para muestras relacionadas para análisis de la varianza de dos factores por rangos	,000

### Resumen de contrastes de hipótesis

	Decisión
1	Rechace la hipótesis nula.

a. El nivel de significación es de ,050.

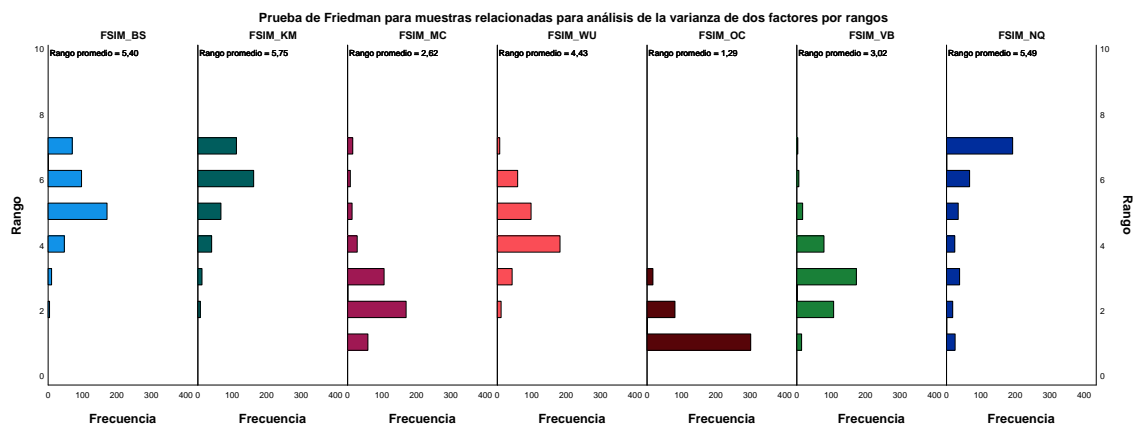
b. Se muestra la significancia asintótica.

## Prueba de Friedman para muestras relacionadas para análisis de la varianza de dos factores por rangos

FSIM\_BS, FSIM\_KM, FSIM\_MC, FSIM\_WU, FSIM\_OC, FSIM\_VB, FSIM\_NQ

## Resumen de la prueba de Friedman para muestras relacionadas para análisis de la varianza de dos factores por rangos

N total	400
Estadístico de prueba	1511,612
Grado de libertad	6
Sig. asintótica (prueba bilateral)	,000



## Comparaciones por parejas

Sample 1-Sample 2	Estadístico de prueba	Error estándar	Estadístico de prueba estándar	Sig.	Sig. ajust. <sup>a</sup>
FSIM_OC-FSIM_MC	1,335	,153	8,740	,000	,000
FSIM_OC-FSIM_VB	-1,730	,153	-11,326	,000	,000
FSIM_OC-FSIM_WU	3,141	,153	20,564	,000	,000
FSIM_OC-FSIM_BS	4,110	,153	26,906	,000	,000
FSIM_OC-FSIM_NQ	-4,199	,153	-27,487	,000	,000
FSIM_OC-FSIM_KM	4,464	,153	29,222	,000	,000
FSIM_MC-FSIM_VB	-,395	,153	-2,586	,010	,204
FSIM_MC-FSIM_WU	-1,806	,153	-11,825	,000	,000
FSIM_MC-FSIM_BS	2,775	,153	18,167	,000	,000
FSIM_MC-FSIM_NQ	-2,864	,153	-18,748	,000	,000
FSIM_MC-FSIM_KM	3,129	,153	20,482	,000	,000
FSIM_VB-FSIM_WU	1,411	,153	9,239	,000	,000
FSIM_VB-FSIM_BS	2,380	,153	15,581	,000	,000
FSIM_VB-FSIM_NQ	-2,469	,153	-16,162	,000	,000
FSIM_VB-FSIM_KM	2,734	,153	17,897	,000	,000
FSIM_WU-FSIM_BS	,969	,153	6,342	<,001	,000
FSIM_WU-FSIM_NQ	-1,057	,153	-6,923	<,001	,000
FSIM_WU-FSIM_KM	1,323	,153	8,658	,000	,000
FSIM_BS-FSIM_NQ	-,089	,153	-,581	,561	1,000

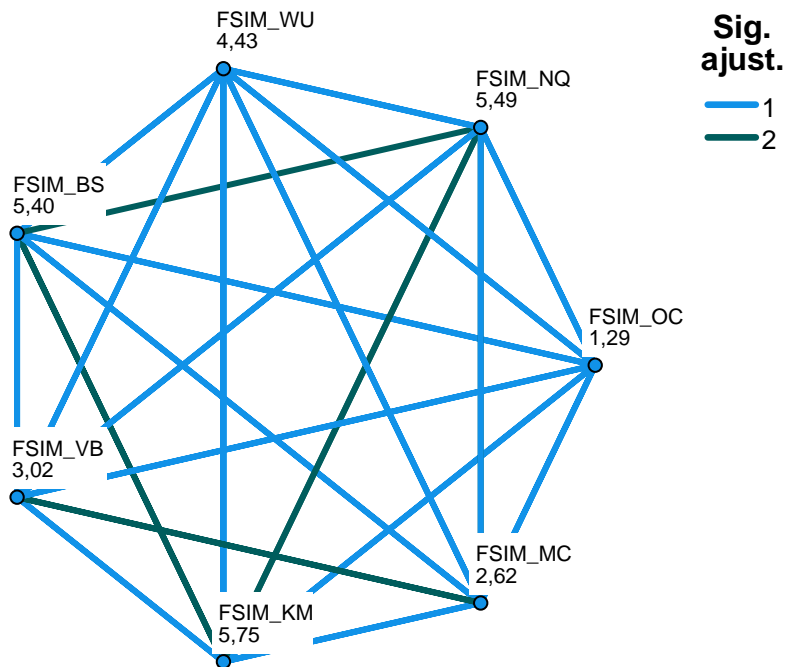
### Comparaciones por parejas

Sample 1-Sample 2	Estadístico de prueba	Error estándar	Estadístico de prueba estándar	Sig.	Sig. ajust. <sup>a</sup>
FSIM_BS-FSIM_KM	-,354	,153	-2,316	,021	,432
FSIM_NQ-FSIM_KM	,265	,153	1,735	,083	1,000

Cada fila prueba la hipótesis nula que las distribuciones de la Muestra 1 y la Muestra 2 son iguales. Se visualizan las significaciones asintóticas (pruebas bilaterales). El nivel de significación es de ,050.

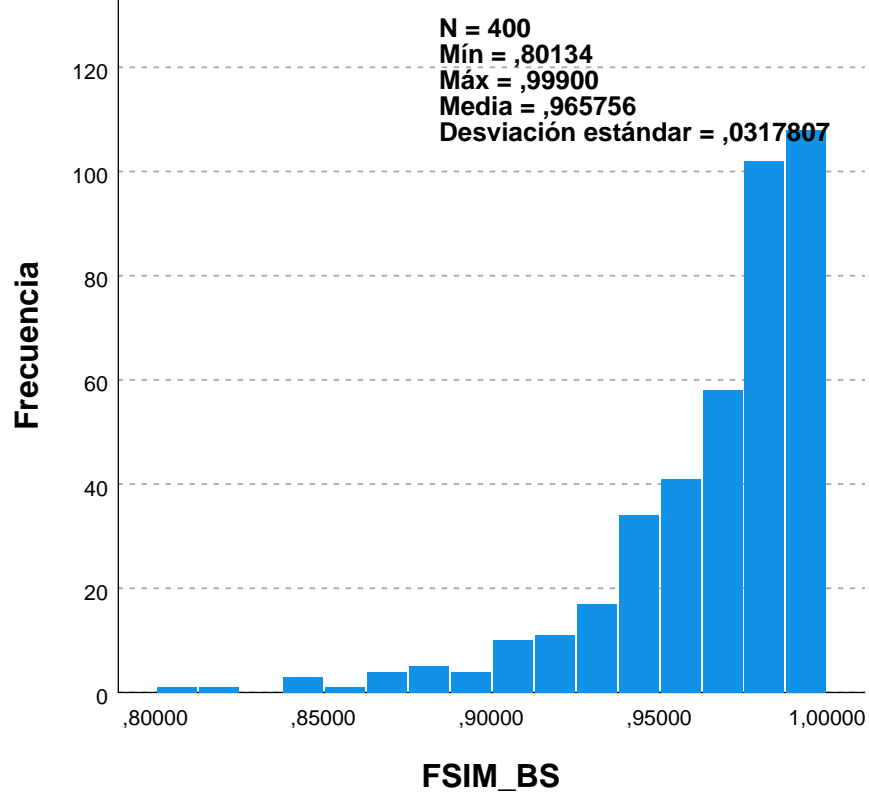
- a. Los valores de significación se han ajustado mediante la corrección Bonferroni para varias pruebas.

### Comparaciones por parejas

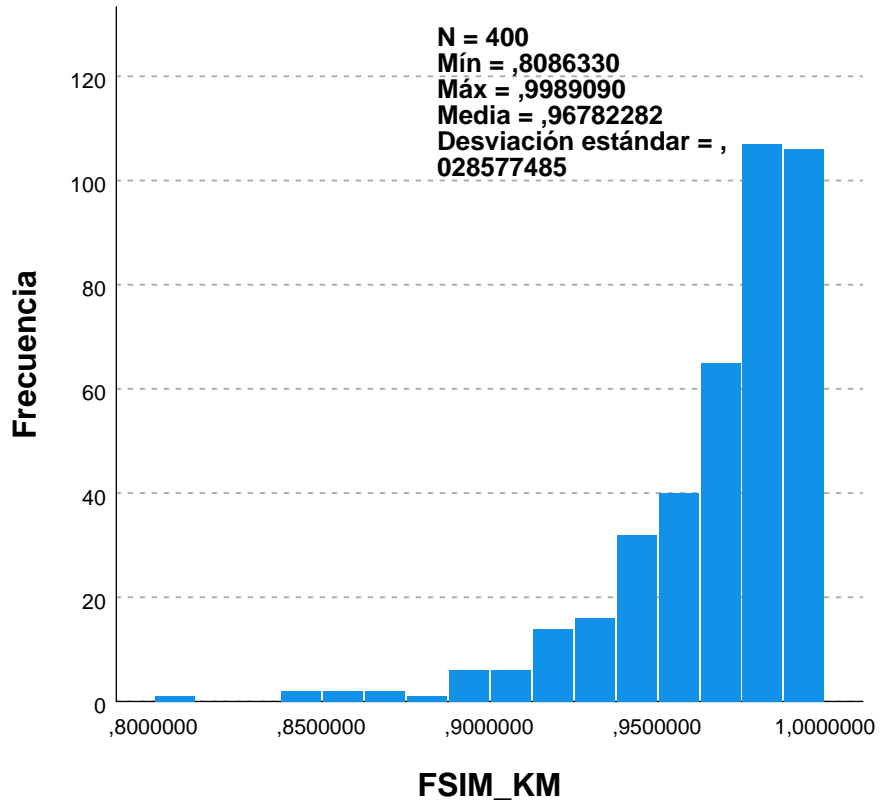


Cada nodo muestra en número de muestra de éxitos.

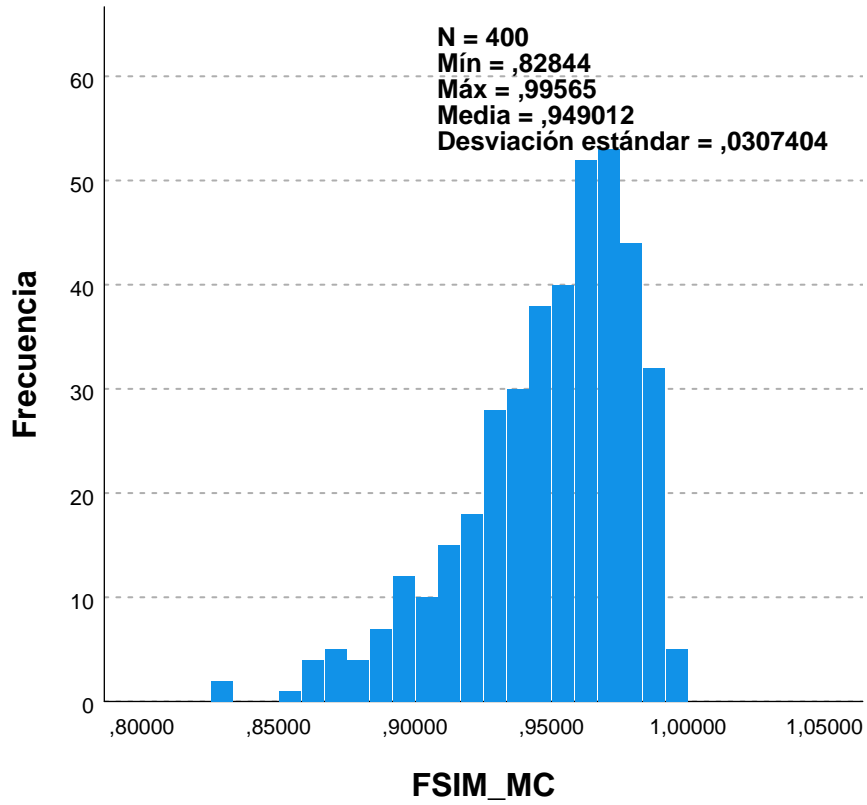
### Información de campos continuos FSIM\_BS



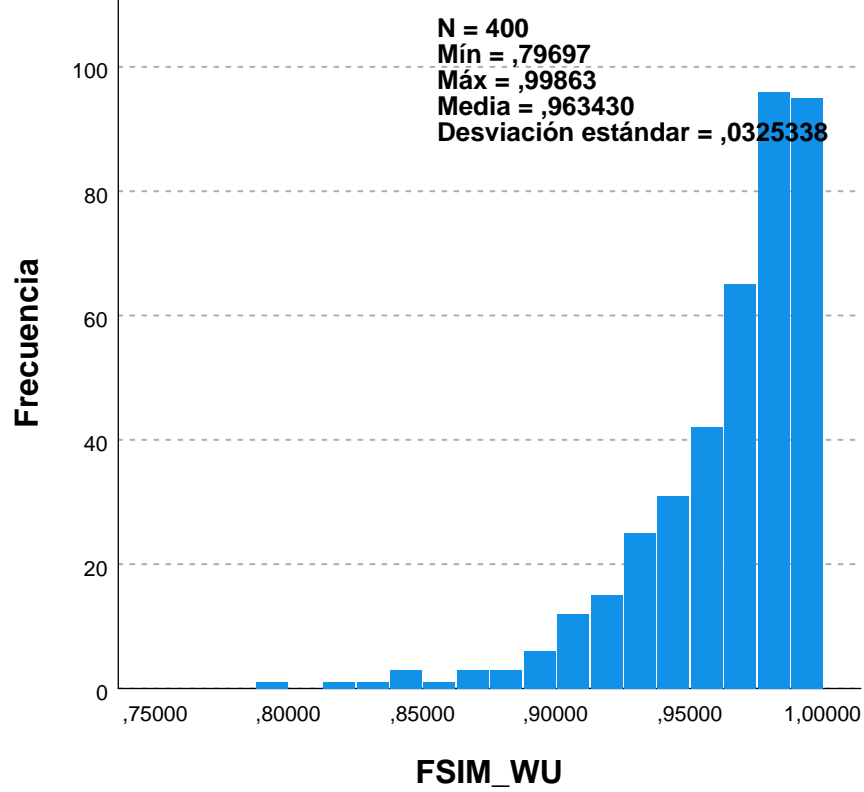
### Información de campos continuos FSIM\_KM



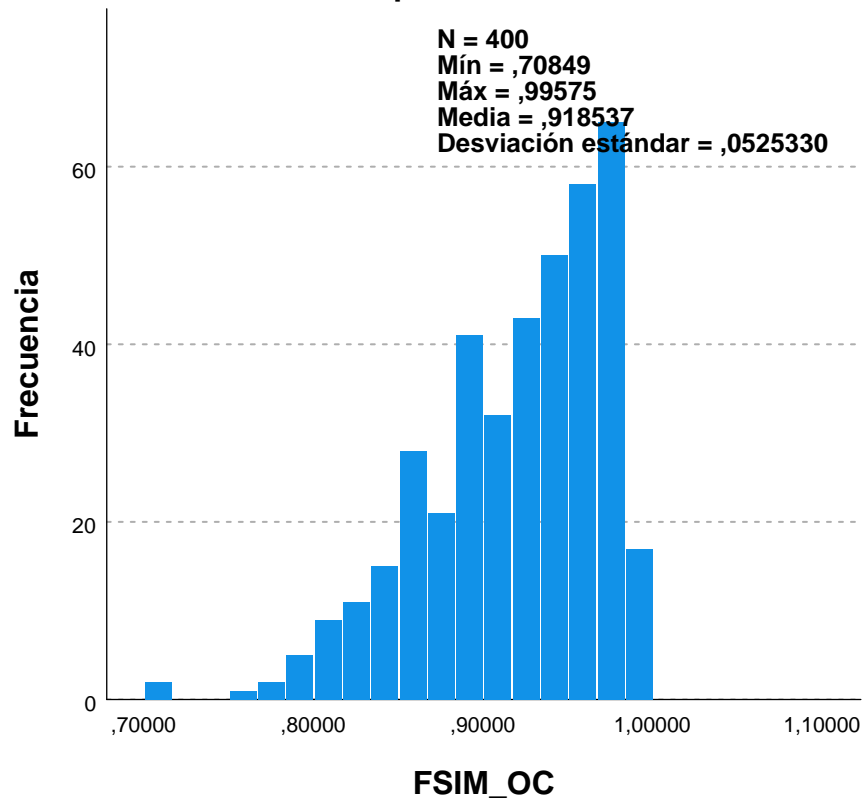
### Información de campos continuos FSIM\_MC



### Información de campos continuos FSIM\_WU

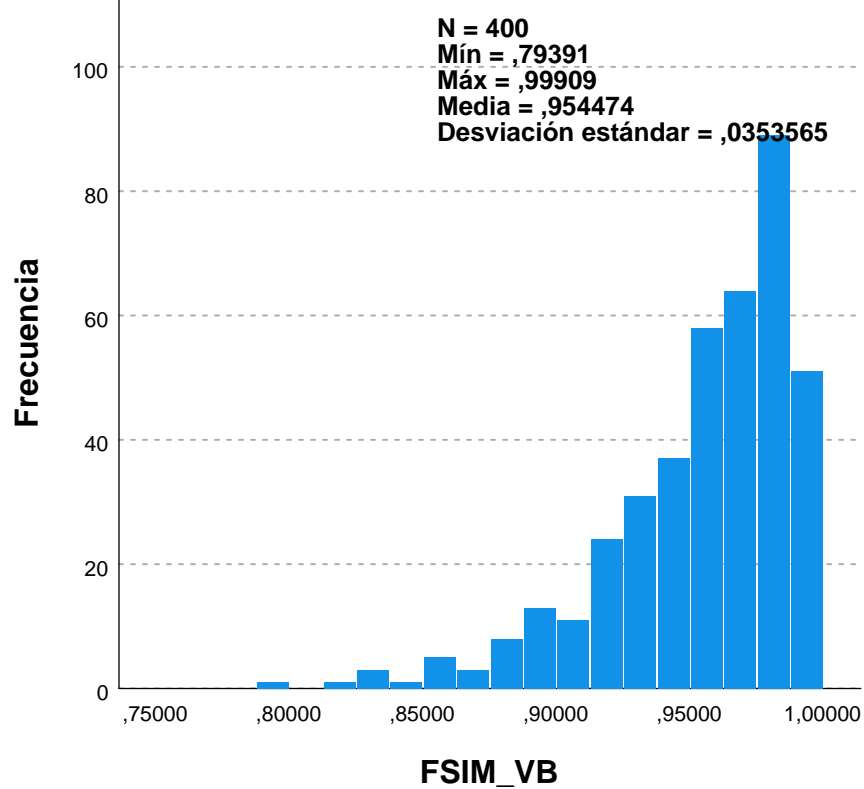


### Información de campos continuos FSIM\_OC





### Información de campos continuos FSIM\_VB



### Información de campos continuos FSIM\_NQ

